

طرق حساب القوى الناجمة عن الزلازل ومقارنة الطرق المعتمدة

الدكتور زكاني طريفى *

□ الملخص □

نوقشت بشكل موجز الطرق الحركية(الديناميكية) لحساب القوى الناجمة عن الزلازل، وقد قورنت طرق أطياف التجاوب وطرق التاريخ الزمني، وقد استعرضت طرق الحمولة المكافئة والإعتبارات المختلفة حول توزيع التسارع على ارتفاع المنشأة.

قورنت بشكل مفصل الطرق المعتمدة في النظم لحساب القوى الناجمة عن الزلازل وذلك بحسب النظم العربية السورية(1992) والنظم الأمريكية (UBC-82) والنظم الألمانية (DIN 4149) والنظم الأوروبية الموحدة (Eurocode No. 8).

إضافةً للمقارنة النظرية للنظم فقد أجريت أيضاً مقارنة عدبية وذلك كمثال على صومعة لتخزين الإسمنت، حيث حسبت الحمولة الأفتتحية المكافئة الناجمة عن الزلازل بحسب النظم العربية السورية، والنظم الأمريكية، والنظم الألمانية. لقد استخلص بنتيجة الحساب بأن النظم العربية السورية والأمريكية تؤدي إلى قيم حمولات أكبر بحوالي(1.71%) من القيم الناجمة بحسب النظم الألمانية.

نتيجة دراسة النظم اقترحت محاور تطوير النظم المتعلقة بالزلازل وذلك من وجهاً النظر المصارية، مواد البناء المختلفة، والشروط المتعلقة بالعناصر الإنشائية الحاملة وغير الحاملة.

* مدرس في قسم الهندسة الإنشائية- كلية الهندسة المدنية - جامعة تشرين - اللاذقية - سوريا.

Methods of Determination of Earthquake Forces and Comparison of Applied Methods

Dr. Zakai TRAIFI*

□ ABSTRACT □

Briefly discussed the dynamic methods applied to determine the forces caused by earthquakes. The methods of resonance spectra and chronicle history methods were compared, beside reviewing the methods of equivalent load and various considerations regarding distribution of acceleration at the level of the structure.

Also compared, in details, the applied methods in international codes to determine the forces caused due to earthquakes according to the Syrian Arab code (1992), USA code (UBC-82), German Code (DIN 4149) and the unified European code (Eurocode No. 8).

In addition to the theoretical comparison of the international codes, numerical comparison on storage silos as an example were performed using the Syrian Arab code, the American code and German code to determine the horizontal equivalent load due to earthquakes. A conclusion was shown as a result of the loculations that the use of Syrian Arab code, and USA code will contribute to values which are greater with 71% than the values resulted by using the German code.

As a result of codes study, axis were proposed to develop earthquake codes from the architectural point of view, various building materials, and the conditions related to bearing and unbearing structural elements.

*Lecturer at Department of Structural Engineering, Faculty of Civil Engineering, Tishreen University, Lattakia, Syria.

خلالها يمكن حساب قوى المقطع والتشوهات التالية للزمن.

تعتمد أساساً الطرق الحركية على حل جملة المعادلات التقاضية:

$$|M|\ddot{R}(t) + |C|\dot{R}(t) + |k|R(t) = -|M|\ddot{U}b(t)$$

حيث: $\ddot{R}(t)$: شعاع التسارع، $\dot{R}(t)$: شعاع السرعة، $R(t)$: شعاع الانتقال، $\ddot{U}b(T)$: شعاع التحرير، $|M|$: مصفوفة الكتلة، $|C|$: مصفوفة التخادم، $|k|$: مصفوفة الصلابة.

يوجد بشكل عام طريقتان لحل جملة المعادلات التقاضية ذات الدرجة الثانية:

طريقة الحل الأولى:

التكامل المباشر وذلك من خلال

طريقة الخطوات الزمنية العددية، فانطلاقاً من الحل المعروف للحظة الزمنية $(t - \Delta t)$.

يمكن الحصول على الحل للحظة الزمنية (t) .

تستخدم هذه الطريقة أساساً في حالتى الجمل الغير خطية، والجمل الخطية المرنة والتي تكون فيها أشكال الاهتزاز العلية ذات أهمية خاصة.

طريقة الحل الثانية:

تحليل نموذج التاريخ الزمني (Time

History Model Analysis) حيث يتم حل

1- تمهيد:

حساب المنشآت الهندسية تحت تأثير الزلازل لا بد من تحديد ثلاثة أمور أساسية وهي:
 - شدة الزلازل.
 - تمثيل المنشأة هندسياً.

- طريقة الحساب والتي تحدد سلوك المنشأة تحت تأثير الزلازل.

ولا بد من التوبيه بوجود علاقة بين معطيات وصف الزلازل والتمثيل الهندسي للمنشأة وطريقة الحساب المعتمدة لوصف السلوك الحركي للمنشأة كما هو موضح في الشكل (1).

ينحصر البحث ضمن إطار طرق حساب القوى الناجمة عن الزلازل.

2- طرق حساب القوى الناجمة عن الزلازل:

حالة تحمل الزلازل هي في الواقع العملي عبارة عن حمولة حركية، وإن طرق الحساب статистическая هي عبارة عن طرق تقريرية، والتي يؤدي تحديد استخدامها إلى نتائج حسابية مقبولة.

2-1 الطرق الحركية (الдинاميكية):

الطرق الحركية تأخذ بالإعتبار الخواص الحركية للمنشأة الهندسية ومن

نتيج الطرق العشوائية (Stochastic Method) بتحديد سلوك تجاوب المنشآت بالصيغة العشوائية من خلال اعتبار التحرير النازلالي بالشكل العشوائي وذلك باستخدام السجل النازلالي (Seismogram) أو المولد اصطناعياً.

اعتماداً على نظرية الإحتمالات يتم تحديد القيم العددية لتجاوز المنشآت.

2- طرق الحمولة المكافحة (طرق استاتيكية):

طرق الحمولة المكافحة هي عبارة عن طرق تقريرية، فمن خلال اعتماد عوامل جزئية يمكن حساب قوى المقطع والتشوهات الناجمة عن تطبيق حمولة إستاتيكية (مكافحة للحمولة الناجمة عن الاهتزاز الأرضية) غير تابعة للزمن على ارتفاع المنشآت. تؤدي طرق الحمولة المكافحة بشكل عام إلى نتائج حسابية مقبولة في معظم المنشآت الهندسية. نجد تطبيقات طرق الحمولة المكافحة بشكل أساسي في النظم العالمية لتحديد قيم القوى الأفقية الناجمة عن تأثير الزلازل. نصادف في النظم النازلالية لدول العالم اعتبارات مختلفة للتوزيع التسارع على ارتفاع المنشآت مثل التوزيع الثابت والتوزيع الثابت والخطي بدءً من منسوب معين، والتوزيع المتدرج. آ) اعتبار توزيع التسارع ثابتاً على ارتفاع المنشآت.

جملة المعادلات المتتجانسة أولاً. هذا يعني الحصول على قيم التردد الذاتي والسلوك الذاتي والتي من خلالها نتمكن من فك ترابط جملة المعادلات التقاضية، وثم يمكن إيجاد الحل عند كل سلوك ذاتي بشكل مستقل، والحل العام يكون من خلال تطبيق مبدأ تضاد الآثار الخطية.

يصلح الحل السابق للجمل الخطية المرنة والتي يتحول فيها الجزء الأكبر من الطاقة خلال الترددات الذاتية الدنيا. تحتاج كلتا طرفيات الحل السابقتين إلى إجراء تكاملات عدبية مضمنة.

استناداً إلى تحليل النموذج التاريخي الزمني توجد طريقة حل مبسطة وهي طريقة أطياف التجاوب (Response Spectrum Method). تتحصر هذه الطريقة بالقيم العظمى لنماذج القيم التابعة للزمن، بحيث أنها تؤدي إلى اختفاء التابعية الزمنية. بشكل عام لا يمكن الحصول على قيم التجاوب العظمى دون أخطاء. إلا أن استخدام القيم المعتمدة على الخاصة العشوائية يؤدي إلى الحد من الأخطاء وبالتالي إلى حلول دقيقة نسبياً.

يوضح الشكل (2) مقارنة بين طرق أطياف التجاوب وطرق التاريخ الزمني وذلك من ناحية القيم الدالة في الحساب، والجهد الحسابي، ومعطيات الحساب، ودقة النتائج المحسوبة.

حيث: (ei) حاصل جداء عدة عوامل تأخذ بعين الاعتبار أثر الزلزال، التسارع الناجم عن الزلزال، نوعية تربة التأسيس، صلف المنشاء.

من ثم يمكن تحديد توزيع الحمولة على ارتفاع المنشاء بحيث تكون متناسبة مع عزوم الدرجة الأولى أو الثانية أي:

$$F_i = \frac{G_i \cdot h_i^2}{\sum_{j=1}^n G_j \cdot h_j^2} \cdot F \quad \text{أو} \quad F_i = \frac{G_i \cdot h_i}{\sum_{j=1}^n G_j \cdot h_j} \cdot F$$

حيث: Gi: الوزن عند المنسوب (i) و hi: ارتفاع المنسوب (i) عن القاعدة.
F: القوة الأفقية الناجمة عن الزلزال الأرضية
وتساوي:

$$F = \epsilon \cdot G$$

ج) توزيع التسارع اعتماداً على السلوك الذاتي الأول وعلى زمن الاهتزاز الأساسي.
يتم تحديد القوة الأفقية الإجمالية (F)
(F1) من خلال العلاقة:

$$F = K_1 \cdot K_2 \cdot K_3 \cdot K_4 \cdot K_5 \cdot G$$

حيث: K1: عامل الاهتزاز، K2: عامل تربة التأسيس، K3: العامل الحركي.

يتم ذلك اعتماداً على القيمة (e) وهي عبارة عن نسبة التسارعات الأفقية الناجمة عن الزلزال الأرضية (حيث يمكن اعتبار القيم الأعظمية للتسراعات أو اعتبار القيمة المتوسطة) إلى تسارع الجانبية الأرضية. و تتراوح قيمة (e) ما بين (0,01) و (0,2). ومن ثم يمكن حساب القوة الأفقية (Fi) عند المنسوب (i) تبعاً للعلاقة:

$$F_i = \epsilon \cdot G_i$$

حيث أن (Gi) الوزن المركز عند المنسوب (i).

تناسب هذه الطريقة المنشآت الصلدة، أما بالنسبة للمنشآت المرنة فيجب اعتماد وصف حقيقي لتوزيع الحمولة على ارتفاع المنشاء و يتم ذلك من خلال تحديد السلوك الحركي للمنشأ الهندسي.

ب) توزيع التسارع اعتماداً على السلوك الذاتي الأول دون الأخذ بعين الاعتبار زمن الاهتزاز الذاتي:

إن اعتماد السلوك الذاتي الأول وذلك من خلال الخط المرن للظفر البديل يحقق درجة تقرير جيدة لتوزيع التسارع.
يتم حساب القوة الناتجة عن الزلزال عند المنسوب (i) اعتماداً على العلاقة:

$$F_i = \epsilon_i \cdot G_i$$

الشكل(1) العلاقة بين المعطيات الزلزالية والتمثيل الهندسي وطريقة الحساب.

شدة الزلزال		
معطيات محلية من خلال التاريخ الزمني للزلزال. (Time Histories)	معطيات عامة و معطيات كلية من خلال أطياف التجاوب. (Response Spectrum)	معطيات عامة بوساطة الخرائط الزلزالية.
شدات الهزات الأرضية متوسطة حتى الكبيرة وكذلك التسارعات الأرضية كبيرة.		شدات الهزات الأرضية صغيرة وكذلك التسارعات الأرضية صغيرة



التمثيل الهندسي للمنشأة		
عنصر حلزوني	هزاز ذو كتل متعددة	هزاز بكتلة وحيدة
تمثيل فراغي ومستمر		
التأثير المتبادل بين المنشأة ونوعية التأسيس.		
المنشآت الحاوية على تجهيزات ميكانيكية أو أوساط معينة (الخزانات....)		



طرق الحساب		
طرق تأخذ بعين الاعتبار الخواص الحرارية (الديناميكية) للمنشأة الهندسية.		
طرق التاريخ الزمني (Time History)	طرق أطياف التجاوب (Response Spectrum)	طرق تقريرية

الشكل(2) مقارنة بين طرق أطیاف التجاوب وطرق التاريχ الزمني.

طرق التاريχ الزمني		طرق أطیاف التجاوب	الطرق	أوجه المقارنة
التكامل المباشر	تحليل موديل التاريχ الزمني			
استخدام تواریخ زمانیة متعددة للتسارع	استخدام تواریخ زمانیة متعددة للتسارع	التسارع الأرضي للمنطقة أو استخدام الطیف التصميمي	القیم الداخلة في الحساب	
مجهد جداً بسبب التكامل العددي لکامل الجملة	متعلق بأعداد السلوك الذاتي للمعتبرة، حيث يتم إجراء تکامل عددي لکل سلوك ذاتي	صغرى بسبب عدم الحاجة للتکاملات العددية	الجهد الحسابي	
التاريχ الزمني لموديلات التجاوب لکامل الجملة	التاريχ الزمني لموديلات التجاوب	القيم الأعظمية للسلوك الذاتي	معطيات الحساب	
دقیقة جداً	دقیقة و متعلقة بأعداد السلوك الذاتي للمعتبرة	خطاء في قيم التجاوب العظمى	دقة النتائج المحسوبة	

3- الطرق المعتمدة في النظم الزلزالية:

بدأت كثیر من دول العالم في السبعينات بوضع نظم لحساب القوى الناجمة عن الزلزال، وقد تميزت طرق الحساب باعتبار توزيع التسارع ثابتاً على ارتفاع المنشآة، وأحياناً قد تعتبر قوة إضافية أفقية مرکزة في أعلى المنشآة، وذلك للأخذ بعين الاعتبار تأثير السلوك الذاتي الأكبر من السلوك الذاتي الأول.

اما في السبعينات فقد اعتبر في الحساب عدد معین من السلوك الذاتي وذلك من خلال استخدام طریقة أطیاف التجاوب

(Response Spectrum Method)

K4: عامل أهمية المنشأة، G: عامل اللدونة، G: وزن المنشأة.

توزيع الحمولة على ارتفاع المنشأة تبعاً لعزوم من الدرجة (∞) بحسب العلاقة:

$$F_i = \frac{G_i.h_i^{\alpha}}{\sum_{j=1}^n G_j.h_j^{\alpha}} \cdot F$$

حيث: من أجل كل $0,5 \leq T \leq T$ تكون $0,5 < T < 2,5$ $Sec = 1$ يكون $2/(T+1,5) = \infty$ ، ومن أجل $T \geq 2,5$ تكون $2 = \infty$ ، T : الدور.

العربية السورية الصادرة عام(1992) [3]،
والنظم الأمريكية (UBC-82) [4]
والجدول(2) بحسب النظم الأوروبية
الموحدة (Eurocode No.8) [1].

أما بالنسبة لترابك القوى الناجمة
عن الزلزال مع بقية الحمولات الدائمة
والإضافية بحسب النظم العالمية فهي
موضحة في الجدول(4).

بمقارنة النظم السابقة الذكر يمكن
استنتاج ما يلي:
1- تركز النظم الأوروبية الموحدة على
سلوك المنشآت الهندسية تحت تأثير
الزلزال وذلك من خلال تحديد العلاقة
بين نسب الأبعاد المعمارية

لتميز النظم في العصر الراهن بأن
النظام الواحد يعطي طرق حساب متعددة
كما هو الحال في النظم الأوروبية الموحدة
[1]، والنظم الألمانية [2] مع ملاحظة وجود
الترابط بين الشدة الزلزالية وطريقة
الحساب.

من الضروري التتويه بأن النظم
المتعلقة بالزلزال هي بشكل عام لمنشآت
الأبنية السكنية والأبنية العامة ولا تأخذ بعين
الاعتبار المنشآت والأبنية الصناعية، وهذا
ما يتطلب ضرورة وضع نظم خاصة لهذا
النوع من المنشآت الهندسية.

يوضح الجدول(1) طريقة حساب
القوى الناجمة عن الزلزال بحسب النظم

جدول (1) طريقة حساب القوى الناجمة عن الزلازل حسب النظم العربية السورية (1992) [3] و النظم الأمريكية (UBC-82) [4].

أحمال الزلازل: هي أحمال أفقية مطبقة عند مركز نقل كل من منسوب من مناسب المنشآت، وتعمل باتجاه المحاور الرئيسية للمنشآت المدروسان وبالاتجاه المدروسان.

$$V = Z \cdot I \cdot K \cdot C \cdot S \cdot W$$

V: قوة القص الكلية الأفقية في الإتجاه المدروسان عند منسوب اتصال الأسماء مع المنشآت.

Z=0,0...1,0: معامل زلزالية المنطقة.

I=1,0...1,5: معامل أهمية المنشآت.

K=0,8...2,5: معامل السلوك اللامرن.

C: النسبة بين التسارع الناجم عن الزلازل والتسارع الأرضي.

$$T = \frac{0.09hn}{\sqrt{D}}; T=0,1\text{N}$$

hn: ارتفاع المنشأ من القاعدة حتى أعلى منسوب n [متر].

D: بعد المنشأ بالإتجاه الموازي لجهة القوى الجانبية المطبقة [متر].

N: عدد الطوابق.

$$C = \frac{1}{15\sqrt{T}} \leq 0.12$$

ويجب تحقيق: $0,06 \leq K \cdot c \leq 0,25$

S: معامل يتعلق بالتراب المشترك والطين بين المنشأ وتربة تأسيسه.

$0,5 < Ts < 2,5 \text{ Sec}$: الدور الأساسي لترابة التأسيس

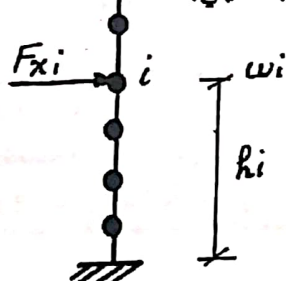
$$\frac{T}{Ts} \leq 1 \Rightarrow S = 1.0 + \frac{T}{Ts} - 0.5 \left[\frac{T}{Ts} \right]^2$$

$$\frac{T}{Ts} > 1 \Rightarrow S = 1.2 + 0.6 \cdot \frac{T}{Ts} - 0.3 \left[\frac{T}{Ts} \right]^2$$

W: مجمل الأحمال المئوية + 25% من مجمل الأحمال الحية في حالة المخازن والمستودعات.

$F_t = 0,07 \cdot T \cdot V \leq 0,25 \text{ V}$: القوة المركزية في أعلى المنشأ.

عندما تكون $Ts = 0,7 \text{ Sec}$ توزع القوى الأفقية على كامل ارتفاع المنشأ حسب ما يلي:



$$F_{xi} = (V - F_t) \cdot \frac{W_i \cdot h_i}{\sum_{i=1}^n W_i \cdot h_i}$$

جدول (2) طرق حساب القوى الناجمة عن الزلازل حسب النظم الألمانية [2] (DIN 4149).

الطريقة العامة	الطريقة التقريرية
<p>تحسب القوة الأفقية $H_{E,j,i}$ لكل كتلة ز و لكل سلوك ذاتي i.</p> $H_{E,j,i} = m_j \cdot \beta \cdot \gamma_{j,i} \cdot cala$	<p>تأخذ بعين الاعتبار فقط السلوك الذاتي الأول للمنشأ.</p> $H_{E,j} = 1.5 \cdot m_j \cdot \beta(T_1) \frac{z_j}{h} \cdot cala$

ج: مجموع الحمولات الدائمة والجزء من الحمولة الحية المؤثرة عند المنسوب j .
 β : تسارع الجانبية الأرضية.
 $g \approx 10 \text{m/Sec}^2$
 m_j : الكتلة المركزية حسب j .
 α : التسارع الأفقي للحساب.
 $a_0 = 0,25 \dots 1 \text{m/Sec}^2$: التسارع الأفقي النظامي.
 $\chi = 1,0 \dots 1,4$: عامل تربة الأساس.
 $\zeta = 0,5 \dots 1,0$: عامل التخفيض.

عامل طيف التجارب الموحد.

$$\beta = \beta(T_i) = \begin{cases} 1.0 & \leftarrow T_i < 0.45 \text{Sec.} \\ 0.528 \cdot T_i^{-0.8} & \leftarrow T_i \geq 0.45 \text{Sec.} \end{cases}$$

$\gamma_{j,i} = \Psi_{j,i} \cdot \frac{\sum_{j=1}^n m_j \cdot \Psi_{j,i}}{\sum_{j=1}^n m_j \cdot \Psi_{j,i}^2}$
 $T_1 = 1.5 \sqrt{\left(\frac{h}{3EI} + \frac{1}{C_k \cdot I_f} \right) \sum_{j=1}^n (G_j + P_j) Z_j^2}$

$\gamma_{j,i}$: عامل يصف السلوك الحركي للمنشأ بالعلاقة مع السلوك الذاتي.
 $\Psi_{j,i}$: الانقلال الأفقي للنقطة الكتالية ز لحظة السلوك الذاتي i .
 n : عدد النقط الكتالية.
 T_1 : الدور [ثانية].
 E : عامل مرنة مادة الإنشاء [MN/m^2].
 I_f : عزم عطلة الظفر للبديل [m^4].
 I_f : عزم عطلة قاعدة الأساس [m^4].
 $C_k = \frac{dy_n Es}{0.25\sqrt{A}}$: عامل للقلب الحركي [MN/m^3].
 A : مساحة قاعدة الأساس [m^2].
 Es : عامل الصلابة الحركي لتربة التأسيس [MN/m^2].
 $dynEs$: عامل الصلابة الحركي لتربة التأسيس [MN/m^2].

جدول (3) طرق تحليل المنشآت الهندسية تحت تأثير الزلازل حسب النظم الأوروبية الموحدة No.8 [1] (Eurocode).

تحليل حسب المثلثات	تحليل حسب طيف التجارب.	تحليل سايكوستاتيكي.
تحليل حسب طيف المثلثات Time dynamic analysis يعتمد على المعلمات الديناميكية لتحليل المنشآت.	تحليل المثلثات Power spectrum analysis يعتمد على الطيف المثلثات.	تعرض القوة الناجمة عن الزلازل بغيره أقصى قدرها في مركز مكة مرواز لتجاهز الزلازل المحتمل وفي مركز كل كثافة مركزة. $F_1 = \frac{F_0}{0.01}$ $F_0 = 0.75 \cdot 0.5 \cdot 0.5 = 0.1875$ عامل يعتمد على قيمة الاستطبابية للطيف التصويري. $\frac{g}{g} = \alpha : \text{النسبة بين السارع الدائم عند الزلازل و السارع الأرضي.}$ عمل تصرح التحليل للمنشآت ذات التفاصيل المختلفة عن 5%.
تحليل حسب طيف التجارب. مودلات متعددة الأطيف التجارب.	تحليل المثلثات. يطبق هذا التحليل للمنشآت التي يمكن لها تدبّر و انتصار بعد اتساع الامتداد.	يأخذ بعض الاختبارات أسطاف الامتداد المنشآت. قوى المقطع المائي هي ممكّلة القوى الداجنة عن كل سارك ذاتي ابي: $S = \sqrt{\sum_{j=1}^n S_j^2}$ $F_i = \beta(T) S_i \cdot W_i$ عن $\beta(T)$: قوّيّة الاتساعية للذريعة المدنية. $S_i: \text{عمل سارك المنشآت.}$ $W_i: \text{وزن عد الكائنات.}$ $S_i: \text{الإلتلافات.}$ $W_i: \text{قوّيّة الطيف التصميمي.}$ $S_i: \text{قوى الگل.}$ $W_i: \text{قوى الإلتلافات.}$

جدول(4) تراكب القوى الناجمة عن الزلازل مع بقية الحمولات بحسب النظم.

النظم الأوروبيّة الموردة [1] (Eurocode) No.8	النظم الألمانيّة [2] (DIN 4149)	النظم العربيّة السوركيّة [3] (1992) [5] (ACI 318-83)
$\pm \gamma_{1,E} + G + P + \sum_i \Psi_{2i,Q_i}$ <p>1: مُعامل أهميّة المنشأة. E: القوى الناجمة عن الزلازل. G: الحمولات الدائمة. P: قوّة سبيك الإجهاد النهائيّة. Q_i: الحمولات الحرية بما فيها الحمولات الداخلية (رياح، ثلوج، حرارة...).</p> <p>1...2...3...: عامل تراكب الحمولات.</p>	<p>(أ) يوضع عن الحمولات الحرية بحسب مخضنة وذلك للحالات:</p> <p>الأبنية السككية، المكاتب، قاععات المحاضرات وصنوف المدارس، عرف الاجتماعات.</p> <p>اما بالنسبة لبقية المنشآت الأخرى فتحضر الحمولات الجيّدة حسب DIN 1055/3 إلى التصنيف.</p> <p>(ب) تحضر حمولة الثقل المحسوبة بحسب DIN 1055/5 وذلك للأفعال الفصوصى:</p> $U = 1,1G + 1,25(P + T + 1,1S)$ <p>G: الأحمال الأساسية الدائمة.</p> <p>P: الأحمال الأساسية الإضافية.</p> <p>جـ) لا يجوز تخفيض الحمولات في حالة الصوامع، المكتبات، غرف التخزين والأرشيف.</p> <p>دـ) لا يجوز تراكب الحمولات الدائمة عن الرياح بحسب طروف الإستهلاك (الرق القياسي، جريان، Δt). E: الأفعال الأساسية الدائمة عن ضغط التربة.</p> <p>DIN 1055/4 مع الحمولات الناجمة عن الزلازل.</p>	<p>النظام الأميركيّة [6] (DIN 1055/3) يقيم</p> <p>التراكيب الأساسيّة:</p> <p>التراكيب الثالوثية:</p> $U = 0,8[1,5G + 1,8P + 1,8(1,1S)]$ $U = 0,9G + 1,4(1,1S)$ $U = 0,9 + 1,4(1,1S) + 1,4E$ <p>[5] (ACI 318-83) (AFCI 318-83)</p> $U = 0,75[1,4G + 1,7P + 1,7(1,1S)]$ $U = 0,9G + 1,3(1,1S)$

متعددة. حسبت الحمولة الأفتية المكافئة الناجمة عن الزلازل بحسب النظم العربية السورية(1992)، والنظم الأمريكية-UBC (82) والنظم الألمانية DIN4147. أما عن سبب استبعاد النظم الأوروبية الموحدة فهو عدم شمولية النظم للصوامع والتي ستتصدر في الجزء الرابع منه.

يوضح الجدول(6) مقارنة نتائج الحساب، ويمكن استنتاج ما يلي:

- 1) ينجم عن النظم السورية والأمريكية قيم حمولات أكبر بحوالي 71% من القيم الناجمة بحسب النظم الألمانية، وهذا ما يمكن تفسيره بسبب زيادة عدد العوامل المعتمدة في النظم السورية والأمريكية، مع العلم أن قيمة التسارع الأفتية الحسابي بحسب النظم الألمانية هي الأكبر.
- 2) اعتبار التوزيع الخطي للحمولة الأفتية المكافئة بحسب النظم المدروسة.
- 3) تؤدي الحمولة المركزية عند أعلى جزء من المنشأة بحسب النظم العربية السورية والنظم الأمريكية إلى أمان أكبر للمنشأة ضد الإنقلاب.

5- محاور تطوير النظم الزلزالية.

يقترح بأن تكون محاور تطوير النظم المتعلقة بالزلازل مستقبلاً

- للمنشآت و هذا ما تتفقده النظم العربية السورية والنظم الأمريكية والألمانية.
- 2- تهمل النظم أثر العلاقة بين المنشآت وطبيعة التأسيس(مثلاً بناء على أساسات مفردة أو حصيرة عامة أو أوتاد... الخ) انظر المرجع [7].
 - 3- تتميز النظم الأوروبية الموحدة بتحديد مواصفات محددة(ما زالت قيد الدراسة) تحت تأثير الزلازل للمنشآت الخاصة مثل الجسور، الإبراج، الخزانات والصوامع، الجدران الاستنادية (والتي ستتصدر في الجزء الثاني حتى الجزء الخامس من النظم).
 - 4- عدم احتواء النظم العربية السورية على خريطة زلزالية.
 - 5- اختلاف النظم الألمانية عن بقية النظم وذلك بعدم اعتمادها عوامل تراكب للحمولات، وإنما تخفيض لقيم الحمولات الحية المتراكبة مع حمولة الزلازل.
- 4- مثال: حساب صومعة تحت تأثير الزلازل.
- لتوضيح مقارنة النظم سوف نجري مقارنة عذرية وذلك على صومعة مفردة لتخزين الأسمنت. يوضح الجدول(5) معطيات المثال المدروساً وكذلك التمثيل الحسابي للمنشأة وذلك بشكل هزار ذي كتل

جدول (5) معطيات المثال المدروس.

البعاد الهندسية	خواص المادة المخزنة	بيانات المنشآت
الارتفاع الكلي 48m	المادة المخزنة هي الأسمنت.	ارتفاع الصومعة 45m
ارتفاع بلاطة الأساس 3m	الوزن الحجمي 16 Kn/m ³	قطر الداخلي 15m
قطر بلاطة الأساس 21m	زاوية الإحتكاك الداخلي 30°	سمك جدار الصومعة 0,3m
تسارع الأرض 0,446	معامل الإحتكاك مع الجدار البeton 0,446	خواص تربة التأسيس
جذور الأشجار 0,3m	جدار الصومعة	جذور الأشجار ذات كثافة جيدة من البصق الرملي.
جذور الأشجار 0,3m	الجدار من البeton المسلح.	معامل المرونة الحركي: $E = 30000 \text{ MN/m}^2$
جذور الأشجار 0,3m	عامل المرونة: $E = 30000 \text{ MN/m}^2$	$\text{dynEs} = 300 \text{ MN/m}^2$
جذور الأشجار 0,3m	درجة الهرزة الأرضية VIII	دور الأساس لترابة التأسيس $T_s = 1 \text{ Sec}$

التعويض عن المنشأة بالمدل الحسابي.

النسبة المنسوب	رقم المقطع	الحمولة عند النسبة j
[m]		
4,32		$3468 [G_j + P_j] [\text{KN}]$
6,78	1	
6,78	2	21614
6,78	3	21614
6,78	4	21614
6,78	5	21614
6,78	6	21614
6,78	7	21614
3	8	25977

The diagram illustrates a silo foundation system. It shows a silo tower with a height of 48m, a foundation plate diameter D = 21m, and a thickness of 3m. The soil profile consists of three layers: a top layer of sand (45m thick), a middle layer of clay (16.78m thick), and a bottom layer of sand (3m thick). The total height of the soil profile is 48.00m. The diagram also shows the eccentricity of the load application, which is 15m, and the eccentricity of the silo tower, which is 4.32m. The eccentricity of the foundation plate is 0.3m.

جدول(6) مقارنة طرق الحساب.

النظم الألمانية [2] (DIN 4149)	النظم السورية (92)، [3] النظم الأمريكية [4] (UBC-82)
<p>التسارع الأفقي $a_0 = 0,65 \text{ m/Sec}^2$</p> <p>عامل تربة الأساس $\gamma = 1,3$</p> <p>عامل التخفيف $\alpha = 0,8$</p> <p>التسارع الأفقي الحسابي $c_{ala} = 0,676 \text{ m/Sec}^2$</p> <p>عامل القلب الحركي $C_k = 64,48 \text{ MN/m}^3$</p> <p>دور $T_1 = 0,79 \text{ Sec}$</p> <p>عامل طيف التجاوب الموحد $\beta = 0,6376$</p> <p>الحمولة الأفقية الستاتيكية المكافئة $H_{E,j} = 0,0135 \text{ mjzi}$</p>	<p>معامل زلازل المنطقة $Z = 0,75$</p> <p>معامل أهمية المنشآت $I = 1$</p> <p>معامل السلوك اللامرن $K = 1,3$</p> <p>دور الأساسي للمنشأ $T = 1,09 \text{ Sec}$</p> <p>نسبة التسارع الناجم عن الزلازل إلى التسارع الأرضي $C = 0,064$</p> <p>التسارع الأرضي $= 0,64 \text{ m/Sec}^2$</p> <p>معامل يتعلق بالترابط المشترك و الطبقتين بين المنشأ و تربة تأسيسه $S = 1,5$</p> <p>قوة القص الأفقي الكلية $V = 0,0936$</p> <p>مجمل الأحمال المئنة + 25% من الأحمال الحية $\varphi = 70954 \text{ Kn}$</p> <p>القدرة $V = 6641 \text{ Kn}$</p> <p>القدرة المركزية في أعلى المنشأ $F_i = 507 \text{ Kn} < 0,25V$</p> <p>القدرة الأفقية الموزعة على كامل ارتفاع المنشأ $V - F_i = 6134 \text{ Kn}$</p> <p>الحمولة الأفقية المكافئة بحسب النظم السورية (92) [3] النظم الأمريكية (UBC-82) [4] النظم الألمانية [2] (DIN-4149)</p>

بالتوجهات التالية:

- 4) وضع شروط تتعلق بالتصصيات التقنية للعناصر الإنسانية الحاملة (مثل الأعمدة، جدران القص، الجوائز... الخ). في المناطق المعرضة لحدوث الزلزال الأرضية.
 - 5) تحديد مواصفات وطرق تثبيت العناصر الإنسانية غير الحاملة (مثل القواطع، واجهات الأبنية... الخ). حيث أن انهيارها لحظة حدوث الزلزال الأرضية قد يؤدي إلى أضرار بشرية ومالية.
 - 6) اعتماد طرق اقتصادية لتدعمي الأبنية المتصدعة نتيجة حدوث الزلزال الأرضية.
- 1) التركيز على سلوك المنشآت الهندسية تحت تأثير الزلازل وذلك من خلال تحديد نسب الأبعاد الهندسية والأشكال المعمارية المناسبة.
- 2) الاعتبارات الخاصة لمواد البناء المختلفة كالألبانية الحجرية، المسقبة الصنع، المنشآت البيتونية المسقبة بالإجهاد، المنشآت المعدنية والمختلطة... الخ.
- 3) تعتبر النظم أثر الزلزال الأرضية على سطح الأرض، وهذا ما لا ينطبق على المنشآت الهندسية المطمورة أو تحت الأرضية مثل الأنفاق...

- [1]Eurocode No.8: Structures in seismic regions-Design. Part 1. -General and Building. Commission of the European Communities. Report. May 1988.
- [2]DIN 4149 Teil 1: Bauten in deutschen Erdbebengebieten-Lastannahmen, Bemessung und Ausfuehrung ueblicher Hachhauten, 1981.
- [3]الكود العربي السوري لتصميم وتنفيذ المنشآت بالخرسانة المسلحة-نقابة المهندسين في الجمهورية العربية السورية. دمشق 1992.
- [4]Uniform Building Code. U.B.C-82.
- [5]ACI 318-83: Building Code Requirements for Reinforced Concrete. American Concrete Institute. Detroit 1983.
- [6]DIN 1055 Blatt 3, Teil 4, Teil 5,: Lastannahmen fuer Bauten. Deutsches Institut fuer Normung.
- [7]Hampe, E. Riedel, C. Schwarz, J.: Zur Beruecksichtigung der Boden-Bauwerk-Wechselwirkung bei der seismischen Untersuchung Von Tragwerken. In: Bauingenieur 66 (1991) 503-515.